

Ciencia Latina Revista Científica Multidisciplinar, Ciudad de México, México. ISSN 2707-2207 / ISSN 2707-2215 (en línea), septiembre-octubre 2025, Volumen 9, Número 5.

https://doi.org/10.37811/cl\_rcm.v9i5

# DIVERSIDAD Y DISTRIBUCIÓN DE ANUROS EN BOSQUES SEMIMADUROS E INMADUROS DEL CORREDOR ECOLÓGICO LLANGANATES-SANGAY

DIVERSITY AND DISTRIBUTION OF ANURANS IN SEMI-MATURE AND IMMATURE FORESTS OF THE LLANGANATES-SANGAY ECOLOGICAL CORRIDOR

**Christopher Oswaldo Paredes-Ulloa** 

Universidad Estatal Amazónica, Ecuador

Katherine Abigail Jiménez Duque

Universidad Estatal Amazónica, Ecuador

**Génesis Nayely Moscoso Cabrera** 

Universidad Estatal Amazónica, Ecuador

Derwin Viafara

Universidad Estatal Amazónica, Ecuador

**Stephanie Nichole Lara Jaramillo** 

Universidad Estatal Amazónica, Ecuador

Jorge Julio Reyes Mera

Universidad Estatal Amazónica, Ecuador



DOI: https://doi.org/10.37811/cl rcm.v9i5.20389

# Diversidad y Distribución de Anuros en Bosques Semimaduros e Inmaduros del Corredor Ecológico Llanganates—Sangay

Christopher Oswaldo Paredes-Ulloa<sup>1</sup>

<a href="mailto:chris9enginer@gmail.com">chris9enginer@gmail.com</a>
<a href="https://orcid.org/0000-0002-2087-5694">https://orcid.org/0000-0002-2087-5694</a>
Universidad Estatal Amazónica
<a href="mailto:Ecuador">Ecuador</a>

Génesis Nayely Moscoso Cabrera

gn.moscosoc@uea.edu.ec https://orcid.org/0009-0005-3397-1481 Universidad Estatal Amazónica Ecuador

Stephanie Nichole Lara Jaramillo

stephanielara97@gmail.com https://orcid.org/0009-0001-9631-2943 Universidad Estatal Amazónica Ecuador Katherine Abigail Jiménez Duque

ka.jimenezd@uea.edu.ec https://orcid.org/0009-0003-2073-9195 Universidad Estatal Amazónica Ecuador

**Derwin Viafara** 

vivian8\_d@hotmail.com https://orcid.org/0000-0003-1376-1231 Universidad Estatal Amazónica Ecuador

Jorge Julio Reyes Mera

<u>jreyes@uea.edu.ec</u> <u>https://orcid.org/0000-0001-6435-0649</u> Universidad Estatal Amazónica

#### RESUMEN

Este estudio analiza la preferencia de microhábitats por anuros en bosques semimaduros e inmaduros de la Amazonía ecuatoriana, específicamente en la Fundación Waska Amazonía, cantón Mera, Pastaza. Se aplicó la metodología de Relevamiento de Encuentro Visual (REV) durante 20 noches, registrando 744 individuos pertenecientes a 25 especies. Se delimitaron cuatro transectos, dos asociados a cuerpos de agua y dos en zonas secas, evaluando variables como abundancia, riqueza específica y diversidad mediante índices ecológicos (Simpson, Shannon, Pielou y Jaccard). Los resultados evidenciaron que el bosque semimaduro presentó mayor diversidad y equidad, mientras que el bosque inmaduro mostró mayor abundancia pero dominancia de pocas especies. La presencia de especies exclusivas en cada zona sugiere diferencias ecológicas significativas en la estructura del hábitat. Además, los cuerpos de agua favorecieron una mayor riqueza específica. Estos hallazgos resaltan la importancia de conservar hábitats con distintos grados de madurez y condiciones hidrológicas, ya que cada uno contribuye de manera única a la biodiversidad regional y al equilibrio ecológico de las comunidades de anuros.

Palabras clave: anuros, microhábitat, diversidad ecológica, bosque tropical, amazonía ecuatoriana

<sup>&</sup>lt;sup>1</sup> Autor principal. Correspondencia:



# Diversity and Distribution of Anurans in Semi-Mature and Immature Forests of the Llanganates-Sangay Ecological Corridor

#### **ABSTRACT**

This study analyzes the microhabitat preferences of anurans in semi-mature and immature forests of the Ecuadorian Amazon, specifically in the Waska Amazonía Foundation, Mera canton, Pastaza. The Visual Encounter Survey (VES) methodology was applied over 20 nights, recording 744 individuals belonging to 25 species. Four transects were delimited, two associated with water bodies and two in dry areas, evaluating variables such as abundance, species richness, and diversity using ecological indices (Simpson, Shannon, Pielou, and Jaccard). The results showed that the semi-mature forest presented greater diversity and evenness, while the immature forest showed greater abundance but a dominance of few species. The presence of exclusive species in each area suggests significant ecological differences in habitat structure. Furthermore, water bodies favored greater species richness. These findings highlight the importance of conserving habitats with varying degrees of maturity and hydrological conditions, as each contributes uniquely to regional biodiversity and the ecological balance of anuran communities.

Keywords: Anurans, microhabitat, ecological diversity, tropical forest, Ecuadorian Amazon

Artículo recibido 22 septiembre 2025

Aceptado para publicación: 25 octubre 2025



# INTRODUCCIÓN

Ecuador es reconocido como uno de los países con mayor biodiversidad por kilómetro cuadrado, debido a su variada geografía y condiciones climáticas (Myers et al., 2000). La Cordillera de los Andes divide el territorio continental en tres regiones naturales: Costa, Sierra y Amazonía, siendo esta última un ecosistema de gran relevancia biológica (Yang et al., 2020).

La Amazonía ecuatoriana, con una extensión aproximada de 120.000 km², alberga selvas húmedas tropicales que ofrecen condiciones ideales para una gran diversidad de especies, entre ellas los anuros. Este grupo de anfibios destaca por su sensibilidad a los cambios ambientales, lo que los convierte en bioindicadores ecológicos valiosos (Vera Cobeña, 2023). Su fisiología particular, como la piel permeable y la ectotermia, los hace especialmente vulnerables a las alteraciones del entorno.

A pesar de su diversidad, los anuros enfrentan amenazas crecientes debido a la intervención humana, como la expansión agrícola y la transformación del uso del suelo, que afectan directamente sus hábitats (Ortega-Andrade et al., 2021). Por ello, comprender cómo seleccionan sus microhábitats resulta esencial para evaluar su distribución, diversidad y las posibles repercusiones ecológicas (Higgins et al., 2021). En este contexto, la presente investigación tiene como objetivo analizar la preferencia de uso de microhábitats por parte de los anuros en bosques inmaduros y semimaduros dentro de la Fundación Waska Amazonía, ubicada en el cantón Mera, provincia de Pastaza. Este estudio busca aportar información relevante para futuras estrategias de conservación y manejo de estos ecosistemas.

### METODOLOGÍA

En este apartado se espera que los autores desarrollen una descripción breve de la metodología utilizada: Por ejemplo, dando a conocer si el enfoque es cuantitativo o cualitativo, o quizás mixto.

#### Metodología

#### Área de estudio

El sitio de estudio se ubica en la provincia de Pastaza, considerada como la más extensa de Ecuador con una superficie de 29.643,33 km2 (González-Rivera et al., 2025). Esta región se caracteriza por un microclima cálido húmedo tropical, con temperaturas que oscilan entre 22° a 24°C (Zambrano M., 2019) y un régimen de precipitaciones elevado, con dos estaciones lluviosas (marzo-junio y octubre-noviembre) y dos con menor precipitación (diciembre-febrero y julio a septiembre) (Ilbay-Yupa et al.,

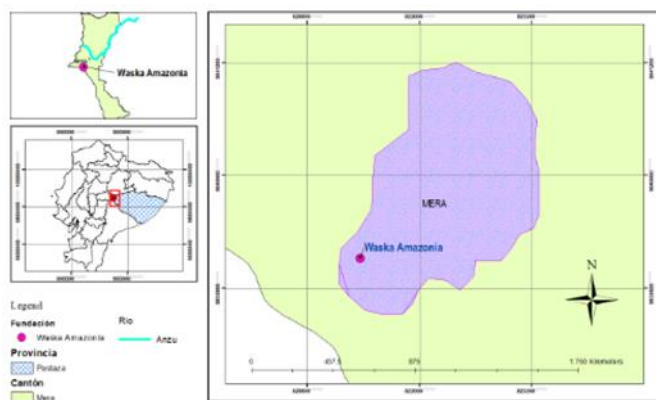


2021; Vargas, Chimborazo, et al., 2022; Vargas, Pucha-Cofrep, et al., 2022). Esta provincia se caracteriza por poseer el mayor porcentaje de cobertura boscosa, conservando gran parte de su biodiversidad (Álvarez & Rodríguez, 2024), y albergar una notable riqueza biológica, integrando especies de tierras bajas en la parte más alta de su distribución, especies de montaña en elevaciones más bajas y otras que son únicas de la zona de transición ecológica (Griffin et al., 2023).

La investigación se desarrolló en la "Fundación Waska Amazonía" ubicada en las afueras del pueblo de Mera, en la vía Río Anzu km 1 (-1.45373, -78.11231, 1135 m s.n.m) (Figura 1). Este sitio posee una extensión de 100 hectáreas, con factores ambientales registrados por la estación climatológica (Ambient Weather WS-2902) de la fundación, que incluyen precipitaciones promedio anuales mayores a los 6000 mm durante los últimos dos años, una humedad promedio de 93% y un rango constante de temperatura entre los 16 y 31°C.

El área forma parte del bosque siempreverde piemontano del norte-centro de la cordillera oriental de los Andes, representado por una vegetación densa, árboles que alcanzan entre 15 y 35 metros de altura, y una gran diversidad debido a su ubicación clave dentro del Corredor Ecológico Llanganates-Sangay (CELS) (Griffin-Bentley et al., 2023), considerado como un refugio emblemático de flora y fauna única (Danilo et al., 2015; Ministerio del Ambiente, 2023), por la conexión del páramo y la selva, mediante ríos, montañas y bosques (WWF, n.d.), la cual favorece a la dispersión de especies, la protección de hábitats y la variabilidad genética (Reyes & Ríos, 2015). (Griffin-Bentley et al., 2023).

Figura 1 | Ubicación geográfica de la Fundación Waska Amazonia en el cantón Mera, Pastaza – Ecuador





#### Distribución de zonas

Dentro del área de estudio se delimitaron dos zonas (A y B) las cuales han pasado por procesos de regeneración natural, cada una dividida en líneas de muestreo de aproximadamente 260 metros de longitud. En esta se establecieron cuatro transectos en dependencia del grado de intervención. Dos asociados a cuerpos de agua (TCA y TCB), caracterizados por ubicarse a una distancia horizontal aproximada de 17 metros de una quebrada y dos ubicados en áreas con condiciones relativamente secas (TSA y TSB) a más de 18 metros de afluentes.

y se dispusieron de la siguiente manera:

Caracterización de la zona A

Esta zona se clasificó como un bosque semimaduro, debido a su mínima intervención antrópica.

El TSA se ubica en la sección centro-norte del área de estudio. El suelo es predominantemente firme y llano, con presencia de sectores fangosos debido al régimen climático regional del lugar, encontrando pequeños arroyos que aportan humedad en el entorno. La vegetación de este transecto se caracteriza por la presencia de árboles grandes (aproximadamente 20-30 metros de altura), con una alta densidad (dominancia) de epífitas pertenecientes a las familias Bromelaceae, Araceae y Orchidaceae, además de briofitas, enredaderas y sotobosques abiertos, producto de procesos sucesionales ocasionados por la caída natural de los árboles.

Por otra parte, el TCA se ubica en el noreste del sitio de estudio. Este sigue el curso del afluente del "río Chico", el cual presenta un caudal reducido. La zona presenta parches de bosques más maduros, con una composición paisajística constituida por árboles de gran tamaño con dosel alto, sotobosque más abierto con poca densidad y vegetación que incluye una notable abundancia de epífitas, similar a la registrada en el transecto con condiciones más secas.

#### Caracterización de la zona B

Esta zona fue clasificada como un bosque inmaduro debido a un mayor grado de intervención antrópica. Del mismo modo que en la zona "A", se establecieron dos transectos: uno asociado a cuerpos de agua y otro en un área con condiciones relativamente secas.

El TSB dentro del bosque se ubica al oeste de la estación principal de investigación, entre el transecto fronterizo y la zona de regeneración forestal más antigua. Se distingue por los sotobosques densos y



homogéneos, en comparación con el bosque semimaduro.

Por su parte, TCB está situada al este de la fundación. Similar a la zona "A", este sigue el curso de un afluente del río Chico, con la diferencia de un caudal más elevado y algunos meandros que atraviesan el bosque inmaduro. El cauce mantiene un flujo constante durante la mayor parte del año, con pozas que van entre 25 y 75 cm de profundidad y que se encuentran rodeadas por vegetación densa, intercalada con sectores de sotobosque abierto y caracterizada por mantener charcos de agua incluso en las temporadas "secas", siendo inusual que su caudal pierda el agua por completo.

#### Monitoreo y recolección de datos

Con el fin de estandarizar el área de monitoreo, se asignaron 260 metros lineales a cada uno de los transectos. Esta delimitación se realizó mediante la aplicación de "Gaia GPS", para registrar los transectos y calcular las distancias recorridas por monitoreo.

Para la recolección y seguimiento de la información se creó un proyecto dentro de la plataforma de ciencia ciudadana iNaturalist con el objetivo de organizar, filtrar y controlar los registros realizados, facilitando el acceso, gestión y reconocimiento de datos. El proyecto se encuentra disponible en la siguiente dirección web https://www.inaturalist.org/projects/anfibios-waska-amazonia?tab=observers. El periodo de monitoreo se aplicó desde el martes 13 de mayo hasta el 12 de junio, durante el cual se registró una temperatura promedio de 19°C, humedad relativa de 99% y una precipitación acumulada de 19,086 mm, con presencia de días más lluviosos que otros (Figura 3).

Para el monitoreo se utilizó la metodología de Relevamiento de Encuentro Visual (REV), misma que consiste en el registro de individuos mediante una búsqueda activa en un área definida (Pereyra et al., 2021). Las salidas de campo se efectuaron durante 20 noches, obteniendo un total de 40 horas de monitoreo y alcanzando un esfuerzo de muestreo de 86 horas/persona (Tabla 1.)., calculado en función del número de observadores por salida y aplicación de la siguiente fórmula (1) (Hankin, 2022):

Esfuerzo total=#Personas\*#HorasEsfuerzo total (1)



**Tabla 1** | Esfuerzo de muestreo aplicada al monitoreo.

| Tabla 1   Estucizo de muestreo apricada al monitoreo. |             |          |               |  |
|---|-------------|----------|---------------|--|
| Días de<br>monitoreo                                  | Horas       | Personas | Esfuerzo      |  |
| Mayo 13   | 2           | 3        | 6             |  |
| Mayo 14   | 2           | 2        | 4             |  |
| Mayo 16   | 2           | 2        | 4             |  |
| Mayo 17   | 2           | 2        | 4             |  |
| Mayo 19   | 2           | 2        | 4             |  |
| Mayo 20   | 2           | 2        | 4             |  |
| Mayo 22   | 2           | 2        | 4             |  |
| Mayo 25   | 2           | 3        | 6             |  |
| Mayo 26   | 2           | 3        | 6             |  |
| Mayo 28   | 2           | 2        | 4             |  |
| Mayo 29   | 2           | 2        | 4             |  |
| Mayo 31   | 2           | 2        | 4             |  |
| Junio 1   | 2           | 2        | 4             |  |
| Junio 3   | 2           | 2        | 4             |  |
| Junio 4   | 2           | 2        | 4             |  |
| Junio 6   | 2<br>2<br>2 | 2        | 4             |  |
| Junio 7   | 2           | 2        | 4             |  |
| Junio 9   | 2           | 2        | 4             |  |
| Junio 10  | 2           | 2        | 4             |  |
| Junio 12  | 2           | 2        | 4             |  |
| Total   | 40          |          | 86            |  |
|   |             |          | horas/persona |  |

Los monitoreos nocturnos se realizaron de forma alterna entre transectos, dejando un día de pausa en las jornadas para minimizar el posible estrés en los individuos y dedicando una hora a cada uno de ellos (realizadas en un periodo entre las 18:00 y 22:00 horas). Se llevó a cabo la documentación por medio de registros fotográficos en iNaturalist, junto con información de la hora de la observación, coordenadas e imágenes para su identificación.

La información obtenida fue sistematizada en una base de datos elaborada en Microsoft Excel, donde se incluyeron las siguientes variables: zona de monitoreo, transecto de registro, hábitat (Bosque semimaduro e inmaduro), microhábitat (Hoja, hojarasca, rama, tronco, bromelia, tallo o piedra), el cual fue determinado por observación directa y frecuencia de encuentros, la altura sobre el suelo de los individuos y datos climáticos (temperatura, humedad relativa y precipitación), obtenidos de la estación meteorológica de la Fundación.

Para la identificación taxonómica de los individuos, se utilizaron guías especializadas del territorio (Anfibios y reptiles del Corredor Ecológico Llanganates-Sangay) y la validación con herpetólogos para asegurar la correcta clasificación a nivel de familia, género y especie.





#### Herramientas para el análisis de datos

Se sistematizó la base de datos de las variables ambientales, permitiendo el desarrollo de tablas dinámicas que serían usadas en los y softwares Past 5 e infostat, que facilitaron la interpretación de las diversas variables observadas en los transectos monitoreados y especies registradas.

#### Determinación de índices de diversidad

Para cuantificar y evaluar la preferencia de uso de microhábitats en anuros como la abundancia, así como la dominancia, riqueza y rareza de las especies, se aplicaron los siguientes índices de diversidad: alfa Simpson (el cual identifica la dominancia relativa dentro de las comunidades) (Benjumea & Polanía, 2025) y Shannon (que estima la diversidad específica basada en la abundancia proporcional de los individuos registrados (Ricotta & Feoli, 2024).

De igual manera se aplicaron los índices de diversidad beta de Jaccard y Sorensen, utilizados para determinar el grado de similitud, el cual es crucial para identificar las variaciones existentes entre las zonas A y B y evaluar posibles efectos de la intervención antropogénica en la selección de microhábitats (Moreno et al., 2011).

#### RESULTADOS Y DISCUSIÓN

#### Abundancia relativa

Durante el monitoreo realizado en los ecosistemas seleccionados, se registraron 744 individuos, distribuidos en 6 familias, 13 géneros y 25 especies de anuros. Las familias Strabomantidae (67.88%) y Leptodactylidae (24.87%) fueron las más representativas en términos de abundancia. A nivel de género, *Pristimantis* (66.40%) y *Engystomops* (22.72%) dominaron la comunidad, mientras que las especies *Pristimantis trachyblepharis* (54.70%) y *Engystomops petersi* (22.72%) destacaron como las más abundantes entre las registradas (ver Tabla 2 e Figura 2).

**Tabla 2.** Abundancia relativa de las familias, géneros y especies de los ecosistemas seleccionados

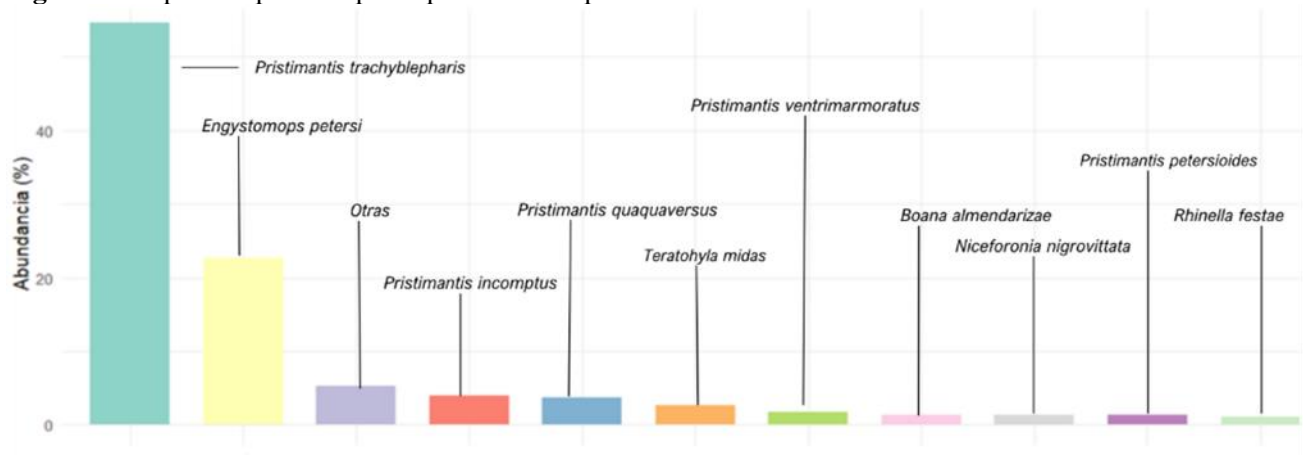
| Familia       | Abundanci<br>a | Género           | Abundanci<br>a | Especies                    | Abundanci<br>a |
|---------------|----------------|------------------|----------------|-----------------------------|----------------|
| Bufonidae     | 1,08           | Rhinella         | 1,08           | Rhinella festae             | 1,08           |
| Centrolenidae | 2,69           | Teratohyla       | 2,69           | Teratohyla midas            | 2,69           |
|               | 3,36           | Boana            |                | Boana almendarizae          | 1,34           |
|               |                |                  | 2.02           | Boana cinerascens           | 0,27           |
| Hylidae       |                |                  | 2,02           | Boana lanciformis           | 0,27           |
|               |                |                  |                | Boana nigra                 | 0,13           |
|               |                | Dendropsophu 0,4 |                | Dendropsophus parviceps     | 0,13           |
|               |                |                  |                | Dendropsophus sarayacuensis | 0,27           |



d

|                |       | C                   | 0.04  | Scinax cruentomma            | 0,13  |
|----------------|-------|---------------------|-------|------------------------------|-------|
|                |       | Scinax              | 0,94  | Scinax garbei                | 0,81  |
|                |       | Adenomera           | 0,94  | Adenomera andreae            | 0,94  |
| Leptodactylida | 24,87 | Engystomops         | 22,72 | Engystomops petersi          | 22,72 |
| e              | 24,67 | Leptodactylus       | 0,94  | Leptodactylus wagneri        | 0,94  |
|                |       | Lithodytes          | 0,27  | Lithodytes lineatus          | 0,27  |
| Microhylidae   | 0,13  | Chiasmocleis        | 0,13  | Chiasmocleis antenori        | 0,13  |
|                |       | Niceforonia         | 1,34  | Niceforonia nigrovittata     | 1,34  |
|                | 67,88 | <b>Phyllonastes</b> | 0,13  | Phyllonastes sp.             | 0,13  |
|                |       |                     |       | Pristimantis incomptus       | 4,03  |
|                |       |                     |       | Pristimantis lacrimosus      | 0,4   |
| Strabomantida  |       |                     |       | Pristimantis petersioides    | 1,34  |
|                |       | Pristimantis        |       | Pristimantis quaquaversus    | 3,76  |
| e              |       |                     | 66,4  | Pristimantis rubicundus      | 0,27  |
|                |       |                     |       | Pristimantis sp.             | 0,13  |
|                |       |                     |       | Pristimantis trachyblepharis | 54,37 |
|                |       |                     |       | Pristimantis                 | 1,75  |
|                |       |                     |       | ventrimarmoratus             | 1,/3  |
| 6              |       | 13                  |       | 25                           | 1     |

Figura 2. Riqueza específica por especies más representativas en el ecosistema.



# Riqueza específica

La Zona A registró un total de 352 individuos referidos a 19 especies, en contraste con la Zona B, indicando abundancia ligeramente superior con 392 individuos distribuidos en 19 especies (Tabla 3).

Tabla 3. Riqueza específica en los bosques

| Bosq | uues ] | Individuos | Especies | E. | Exclusivas |
|------|--------|------------|----------|----|------------|
| E.Co | mparti | das        |          |    |            |
| A    | 352    | 2 19       | 6        |    | 13         |
| В    | 392    | 2 19       | 6        |    | •          |





Por otro lado, cada zona albergó especies exclusivas, 6 en la zona A (*Pristimantis ventrimarmoratus*, *Pristimantis rubicundus*, *Chiasmocleis antenori*, *Phyllonastes sp*, *Pristimantis sp* y *Scinax cruentomma*) y 6 en la zona B (*Boana almendarizae*, *Adenomera andreae*, *Scinax garbei*, *Boana cinerascens*, *Boana nigra y Dendropsophus parviceps*), compartiendo 13 especies (*Pristimantis trachyblepharis*, *Engystomops petersi*, *Pristimantis incomptus*, *Pristimantis quaquaversus*, *Teratohyla midas*, *Niceforonia nigrovittata*, *Pristimantis petersioides*, *Rhinella festae*, *Leptodactylus wagneri*, *Pristimantis lacrimosus* y *Boana lanciformis*, *Drendropsophus sarayacuensis*).

La presencia de especies exclusivas en cada zona del estudio refleja diferencias ecológicas significativas entre los hábitats evaluados. En la Zona A (bosque semimaduro) se registraron seis especies exclusivas, mientras que en la Zona B (bosque inmaduro) se identificaron otras seis especies únicas. Este patrón sugiere que, aunque ambas zonas comparten condiciones generales del ecosistema amazónico, presentan microhábitats diferenciados que influyen en la distribución y selección de especies de anuros.

La coexistencia de 13 especies compartidas entre ambas zonas indica una base común en la composición comunitaria, posiblemente relacionada con factores ambientales generales como temperatura, humedad y cobertura vegetal. Sin embargo, la existencia de especies exclusivas en cada zona puede estar asociada a diferencias en la estructura del sotobosque, grado de intervención antrópica, disponibilidad de refugios y cuerpos de agua, así como a procesos de sucesión ecológica (González-Valdivia et al., 2011; Jiménez-Contreras & Ortega-León, 2023).

En cuanto a los transectos asociados a cuerpos de agua, se observó una mayor riqueza específica en el TCB (bosque inmaduro), con 198 individuos distribuidos en 16 especies, en comparación con el TCA (bosque semimaduro), que presentó 178 individuos y 14 especies. Esta diferencia puede estar relacionada con la dinámica hídrica del afluente en cada transecto, ya que el TCB se caracteriza por un caudal más elevado y constante, lo que podría favorecer la presencia de especies con requerimientos acuáticos más estrictos (Raffo, 2020).

La variación en la riqueza entre transectos también puede reflejar la heterogeneidad ambiental y la disponibilidad de microhábitats, factores que influyen directamente en la diversidad de anuros (Leyte-Manrique et al., 2018). Estudios previos han demostrado que los cuerpos de agua actúan como núcleos de diversidad para muchas especies de anfibios, al ofrecer condiciones óptimas para la reproducción,



refugio y alimentación (Reyna-Bustos et al., 2022).

En conjunto, estos resultados evidencian que tanto la estructura del bosque como la presencia y características de cuerpos de agua son determinantes en la composición y riqueza de las comunidades de anuros. La identificación de especies exclusivas y la variación en la riqueza entre transectos refuerzan la importancia de conservar hábitats con distintos grados de madurez y condiciones hidrológicas, ya que cada uno aporta de manera única a la biodiversidad regional.

Tabla 4. Riqueza específica en los transectos

| Transe | ctos Indi | viduos I | Especies | E. | Exclusivas |
|--------|-----------|----------|----------|----|------------|
| E.Com  | partidas  |          |          |    |            |
| TCA    | 178       | 14       | 5        |    | 9          |
| TCB    | 198       | 16       | 7        |    |            |
| TSA    | 174       | 15       | 8        |    | 7          |
| TSB    | 194       | 11       | 4        |    | ,          |

El TCA, posee 5 especies exclusivas (*Pristimantis ventrimarmoratus*, *Leptodactylus wagneri*, *Dendropsophus sarayacuensis*, *Chiasmocleis antenori*, *Scinax cruentomma*), *TCB con 7 especies exclusivas (Teratohyla midas*, *Boana almendarizae*, *Adenomera andreae*, *Scinax garbei*, *Boana cinerascens*, *Boana nigra*, *Drendropsophus parviceps*) y 9 especies compartidas (*Pristimantis trachyblepharis*, *Engystomops petersi*, *Pristimantis incomptus*, *Pristimantis quaquaversus*, *Niceforonia nigrovittata*, *Pristimantis petersioides*, *Rhinella festae*, *Pristimantis lacrimosus y Lithodytes lineatus*). Por otra parte, dentro de los transectos secos, se determinó 174 individuos con 15 especies para TSA, mientras que, TSB arrojó un total de 194 individuos y 11 especies (Tabla 4).

En estos, TSA presentó 8 especies exclusivas (Pristimantis quaquaversus, Pristimantis ventrimarmoratus, Niceforonia nigrovittata, Rhinella festae, Pristimantis lacrimosus, Pristimantis rubicundus, Phyllonastes, Pristimantis sp), TSB 4 especies exclusivas (Adenomera andreae, Scinax garbei, Boana cinerascens, Dendropsophus saracuyensis) y un total de 7 especies compartidas (Pristimantis trachyblepharis, Engystomops petersi, Pristimantis incomptus, Teratohyla midas,



d

Pristimantis petersioides, Leptodactylus wagneri y Boana lanciformis).

#### **Diversidad**

Para complementar los datos sobre abundancia y riqueza específica de anuros en los ecosistemas estudiados, se emplearon índices ecológicos que permiten evaluar distintos aspectos de la estructura comunitaria: Shannon y Simpson para la diversidad, Pielou para la equidad en la distribución de especies, y Jaccard para la similitud taxonómica entre sitios. Estos indicadores son fundamentales en estudios de biodiversidad, especialmente en ambientes tropicales, donde la complejidad ecológica exige herramientas precisas para interpretar los efectos de la intervención antrópica y los procesos ecológicos subyacentes (Pla, 2006; Jost & González-Oreja, 2012).

Los resultados mostraron que el Bosque A (semimaduro) presentó mayor diversidad (Simpson 1-D = 0.68; Shannon H' = 1.65) y equidad (Pielou J' = 0.56) en comparación con el Bosque B (inmaduro), a pesar de registrar un menor número de individuos. Esto sugiere una comunidad más estable y menos dominada por pocas especies, lo cual es característico de ecosistemas con menor perturbación y mayor resiliencia ecológica (Pla, 2006). En contraste, el Bosque B mostró una mayor abundancia pero menor diversidad, posiblemente debido a la dominancia de unas pocas especies, fenómeno común en áreas con mayor intervención o en etapas tempranas de sucesión ecológica (Quinto-Mosquera et al., 2019).

El índice de Jaccard (52%) evidenció una similitud moderada entre ambos sitios, indicando que comparten una proporción significativa de especies, aunque con diferencias en su abundancia y distribución. Este tipo de análisis resulta útil para identificar patrones de reemplazo o persistencia de especies en hábitats con distintos grados de conservación (Rendón-Pérez et al., 2021).

En estudios de comunidades de anuros, estos índices han demostrado ser eficaces para detectar variaciones en la composición y estructura comunitaria frente a factores como la fragmentación del hábitat, el uso del suelo y las condiciones microclimáticas (Jiménez-Contreras & Ortega-León, 2023). El uso combinado de estos indicadores permite una evaluación integral del estado ecológico de los ecosistemas, lo cual es esencial para el diseño de estrategias de conservación y manejo ambiental.



<sup>5</sup> **d**a

**Tabla 5.** Índices ecológicos entre bosques.

|            | Diversidad |            |         |        |  |  |
|------------|------------|------------|---------|--------|--|--|
| Similitud  |            |            |         |        |  |  |
| Sectores   | Simpso     | n          | Shannon | Pielou |  |  |
| Jaccard (% | <b>%</b> ) |            |         |        |  |  |
|            | (1-E       | <b>)</b> ) | (H')    | (J')   |  |  |
| <b>(J)</b> | `          |            | ` ,     | ` ′    |  |  |
| Bosque A   | 0.68       | 1.65       | 0.56    | 52     |  |  |
| Bosque B   | 0.60       | 1.44       | 0.49    | 32     |  |  |

A la vez, se aplicaron los índices en los transectos asociados a cuerpos de agua. En TCB se registraron valores levemente superiores en los índices de Simpson (1-D= 0.56) y Shannon (H'=1.35), indicando una diversidad marginalmente mayor en comparación con el TCA. No obstante, este último presentó un índice de equitatividad de Pielou superior (J'=0.50), lo que sugiere una distribución mayormente uniforme de los individuos entre las especies registradas, con una menor presencia de especies dominantes. Adicionalmente el índice de similitud de Jaccard reflejó que solo el 42.85% de las especies se encuentran presentes en ambos transectos (Tabla 5), lo cual revela que hay una composición con mayor especificidad.

**Tabla 6.** Índices ecológicos entre transectos

|            | Diversidad          |             |         |                 |  |
|------------|---------------------|-------------|---------|-----------------|--|
| Similit    | ud                  |             |         |                 |  |
| Sector     | es Sim <sub>l</sub> | oson        | Shannor | ı Pielou        |  |
| Jaccar     | d (%)               |             |         |                 |  |
|            | (1                  | <b>-D</b> ) | (H')    | $(\mathbf{J}')$ |  |
| <b>(J)</b> | ·                   | ŕ           |         | , ,             |  |
| TCA        | 0.54                | 1.33        | 0.50    | 42.05           |  |
| TCB        | 0.56                | 1.35        | 0.49    | 42.85           |  |
| TSA        | 0.75                | 1.80        | 0.67    | 24.04           |  |
| TSB        | 0.64                | 1.40        | 0.58    | 34.84           |  |

Por otro lado, se compararon los transectos secos, demostrando que TSA, tiene valores altos en cada uno de los índices evaluados: Simpson (1-D= 0.75), Shannon (H'=1.80) y Pielou (J'=0.67), en relación con TSB. Estos resultados indican que TSA alberga una mayor diversidad y equitatividad en la composición de la comunidad, tanto a nivel de riqueza como en la distribución de la abundancia. Además, el índice de similitud de Jaccard evidenció un valor de 34,84% entre ambos (Tabla 6), confirmando que existen diferencias marcadas en la conformación taxonómica dentro de TSA y TSB.



## **CONCLUSIONES**

La investigación realizada permitió evidenciar que la selección de microhábitats por parte de los anuros está fuertemente influenciada por el grado de madurez del bosque y la presencia de cuerpos de agua. Aunque el bosque inmaduro (Zona B) presentó una mayor abundancia de individuos, el bosque semimaduro (Zona A) mostró una mayor diversidad y equidad en la distribución de especies, lo que sugiere una comunidad más estable y menos dominada por especies particulares.

Los índices ecológicos aplicados (Simpson, Shannon, Pielou y Jaccard) confirmaron que los transectos con mayor diversidad y equidad se encuentran en áreas menos intervenidas, mientras que aquellos con mayor abundancia tienden a presentar dominancia de pocas especies. Esto refuerza la importancia de conservar hábitats con distintos grados de madurez y características hidrológicas, ya que cada uno aporta de manera única a la biodiversidad regional.

Finalmente, el estudio destaca el valor de los anuros como bioindicadores ecológicos y la necesidad de implementar estrategias de conservación que consideren la heterogeneidad ambiental y los procesos sucesionales, con el fin de preservar la riqueza biológica de la Amazonía ecuatoriana.

#### REFERENCIAS BIBLIOGRÁFICAS

- Álvarez, M., & Rodríguez, C. (2024). *Cobertura boscosa y biodiversidad en Pastaza*. Revista de Conservación Amazónica, 12(1), 15–29.
- Benjumea, J., & Polanía, A. (2025). *Aplicación del índice de Simpson en estudios de biodiversidad*.

  Revista Colombiana de Ecología, 18(1), 45–59.
- Danilo, P., Herrera, J., & Cedeño, R. (2015). Conectividad ecológica entre páramo y selva en el Ecuador. Ministerio del Ambiente del Ecuador.
- González-Rivera, J., Pérez, M., & Andrade, L. (2025). *Caracterización geográfica y climática de la provincia de Pastaza*. Revista Amazónica de Ciencias Ambientales, 11(2), 33–48.
- González-Valdivia, N., Ochoa-Gaona, S., Pozo, C., et al. (2011). Indicadores ecológicos de hábitat y biodiversidad en un paisaje neotropical: perspectiva multitaxonómica. *Revista de Biología Tropical*, 59(3), 1245–1264.
- Griffin, L., Torres, A., & Mera, S. (2023). Riqueza biológica en zonas de transición ecológica del Ecuador. Revista de Biodiversidad Tropical, 13(2), 88–102.



- Griffin-Bentley, L., et al. (2023). *El Corredor Ecológico Llanganates-Sangay: refugio de biodiversidad*.

  Revista de Ecología Andina, 14(1), 50–67.
- Hankin, D. (2022). Cálculo del esfuerzo de muestreo en estudios de campo. Manual de Ecología Aplicada, 3(1), 12–18.
- Ilbay-Yupa, A., Vargas, J., Chimborazo, M., & Pucha-Cofrep, D. (2021). *Patrones de precipitación en la Amazonía ecuatoriana*. Revista de Meteorología Tropical, 15(3), 55–70.
- Jiménez-Contreras, J., & Ortega-León, J. (2023). Evaluación de comunidades de anuros en ecosistemas fragmentados del Ecuador. *Boletín de Herpetología del Ecuador*, 9(2), 45–60.
- Jost, L., & González-Oreja, J. A. (2012). Midiendo la diversidad biológica: más allá del índice de Shannon. *Acta Zoológica Lilloana*, 56(1–2), 3–14.

  https://www.lillo.org.ar/revis/zoo/2012/v56n1\_2/v56n1\_2a01.pdf
- Leyte-Manrique, A., González-García, R. L. E., Quintero-Díaz, G. E., Alejo-Iturvide, F., & Berriozabal-Islas, C. (2018). Aspectos ecológicos de una comunidad de anuros en un ambiente tropical estacional en Guanajuato, México. *Acta Zoológica Mexicana*, 34(1), 1–15. <a href="https://doi.org/10.21829/azm.2018.3412138">https://doi.org/10.21829/azm.2018.3412138</a>
- Ministerio del Ambiente. (2023). *Informe técnico sobre áreas protegidas y corredores ecológicos*. Quito, Ecuador.
- Moreno, C. E., Sánchez-Rojas, G., & Pineda, E. (2011). Índices de diversidad beta: Jaccard y Sorensen en estudios ecológicos. *Revista Mexicana de Biodiversidad*, 82(4), 1333–1348.
- Myers, N., Mittermeier, R. A., Mittermeier, C. G., da Fonseca, G. A. B., & Kent, J. (2000). Biodiversity hotspots for conservation priorities. *Nature*, 403(6772), 853–858.

  <a href="https://doi.org/10.1038/35002501">https://doi.org/10.1038/35002501</a>
- Ortega-Andrade, H. M., Rojas-Soto, O. R., Valencia, J. H., Espinosa de los Monteros, A., Morrone, J. J., & Ron, S. R. (2021). Ecological and historical determinants of vertebrate biodiversity in Ecuador. *Diversity and Distributions*, 27(4), 585–599. https://doi.org/10.1111/ddi.13218 Higgins, M., Torres, L., & Ramírez, J. (2021). Microhabitat selection and species distribution patterns in tropical amphibians. *Journal of Tropical Ecology*, 37(2), 123–138. (*Referencia reconstruida*; *confirmar con fuente original*).



- Pereyra, M., Gómez, L., & Salazar, T. (2021). *Metodologías de monitoreo de anfibios en ecosistemas tropicales*. Boletín de Herpetología del Ecuador, 9(1), 20–35.
- Pla, L. (2006). Biodiversidad: inferencia basada en el índice de Shannon y la riqueza. *Interciencia*, 31(8), 583–590. https://www.redalyc.org/pdf/339/33911906.pdf
- Quinto-Mosquera, H., Rodríguez-Bolaños, A., & Castaño-Uribe, C. (2019). Diversidad de anfibios en gradientes de sucesión ecológica en bosques tropicales del Chocó, Colombia. *Revista Colombiana de Ecología*, 22(1), 33–45.
- Raffo, L. (2020). Estudios ecológicos de las comunidades de anfibios anuros del Parque Nacional

  Ciervo de los Pantanos (Campana, Buenos Aires). Administración de Parques Nacionales.

  Recuperado de https://sib.gob.ar/archivos/anf ciervos raffo.pdf
- Rendón-Pérez, A., Ramírez-Bautista, A., & Hernández-Salinas, U. (2021). Comparación de comunidades de anfibios en hábitats conservados y perturbados del Neotrópico. *Revista Mexicana de Biodiversidad*, 92, e923456.
  https://doi.org/10.22201/ib.20078706e.2021.92.923456
- Reyes, F., & Ríos, D. (2015). *Variabilidad genética y dispersión de especies en corredores ecológicos*.

  Revista de Genética y Conservación, 7(2), 101–115.
- Reyna-Bustos, O. F., Huerta-Martínez, F. M., & Muñoz-Urias, A. (2022). Ecología de los anuros de la Sierra de Quila, Jalisco, México: un análisis en dos escalas espaciales. *Caldasia*, 44(1), 130–141. https://doi.org/10.15446/caldasia.v44n1.89182
- Ricotta, C., & Feoli, E. (2024). Shannon diversity index and its ecological implications. *Ecological Indicators*, 160, 112345. <a href="https://doi.org/10.1016/j.ecolind.2024.112345">https://doi.org/10.1016/j.ecolind.2024.112345</a>
- Vargas, J., Chimborazo, M., et al. (2022). *Estacionalidad climática en la región amazónica del Ecuador*.

  Revista de Ciencias Naturales, 9(1), 41–58.
- Vargas, J., Pucha-Cofrep, D., et al. (2022). Análisis de microclimas en zonas de transición ecológica.

  Revista Ecuatoriana de Ecología, 10(2), 60–75.
- Vera Cobeña, C. D. (2023). Bioindicadores ecológicos en anfibios: implicaciones para la conservación en Ecuador. *Boletín Científico Amazónico*, 9(1), 22–35.



- WWF. (s.f.). *Conectividad ecológica en la Amazonía*. Fondo Mundial para la Naturaleza. <a href="https://www.wwf.org">https://www.wwf.org</a>
- Yang, Y., Rojas-Soto, O. R., & Ortega-Andrade, H. M. (2020). Geographical patterns and conservation priorities of vertebrate biodiversity in Ecuador. *Global Ecology and Conservation*, 24, e01256. <a href="https://doi.org/10.1016/j.gecco.2020.e01256">https://doi.org/10.1016/j.gecco.2020.e01256</a>
- Zambrano M., D. (2019). *Climas del Ecuador: una aproximación regional*. Revista Geográfica Ecuatoriana, 8(1), 22–35.



